

УДК 532.529:518.5

## ЧИСЛЕННОЕ ИССЛЕДОВАНИЕ МЕТАНИЯ СЛОЯ ПОРОШКА СЖАТЫМ ГАЗОМ

А. И. Ивандаев, А. Г. Кутушев, Д. А. Рудаков

Институт механики многофазных систем СО РАН,  
625000 Тюмень

В рамках двухскоростной, двухтемпературной, с двумя напряжениями модели пористой порошкообразной среды моделируется динамика одномерного разлета в газовое пространство плотного слоя частиц под импульсным воздействием сжатого газа. Детально рассматриваются последовательные стадии волнового движения газовой и дисперской фаз. Описывается эффект образования зон немонотонного распределения параметров дисперской фазы на стадии взаимодействия встречных волн разгрузки в сжатом слое частиц. Приводятся интегральные зависимости дальности и протяженности зоны разлета порошка от перепада начального давления газа и размера частиц.

Изучение поведения дисперсных смесей в условиях их ударного и взрывного нагружения представляет научно-практический интерес в связи с широким использованием этих процессов в различных отраслях современной техники. В частности, необходимость решения данной проблемы возникает в пневмотранспорте газовзвесей и сыпучих материалов, в пожаротушении при ликвидации очагов горения импульсной подачей порошка в зону горения.

В [1] представлены результаты экспериментального изучения процесса разлета слоя малоконцентрированной смеси газа с частицами (газовзвеси) из камеры высокого давления ударной трубы в газовое пространство камеры низкого давления. В [2] для условий опытов [1] в рамках модели двухфазной разреженной смеси газа и частиц осуществлено численное исследование волнового истечения сжатой газопылевой среды. Динамика разлета в газ стратифицированной газовзвеси численно и экспериментально изучена в [3]. В [4] на основе модели двухфазной смеси сжимаемых газовой и дисперской фаз численно моделировался разлет плотного слоя капель под воздействием сферической взрывной волны. В данной работе на основе численной методики [5] выполнено математическое моделирование процесса метания плотного слоя контактирующих частиц под импульсным воздействием сжатого газа.

### Основные уравнения динамики порошкообразной среды

Для описания движения газа и пористой порошкообразной среды, представляющей собой смесь контактирующих между собой твердых частиц и газа в порах, принимаются известные в механике сплошных многофазных сред допущения [6]: расстояния, на которых параметры течения меняются существенно, много больше характерного размера дисперсных частиц и расстояний между ними; эффекты вязкости и теплопроводности существенны лишь в процессах межфазного взаимодействия; дисперсные частицы порошкообразной среды представляют собой совокупность несжимаемых деформируемых монодисперсных включений сферической формы; отсутствуют процессы дробления и слипания частиц, а также фазовые переходы; изменение внутренней энергии порошкообразной среды, обусловленное работой сил межфазного трения, целиком осуществляется через газовую fazу. При сделанных допущениях уравнения нестационар-

ного плоского одномерного движения порошкообразных сред записываются в следующем виде [5, 6]:

$$\begin{aligned} \frac{\partial \rho_i}{\partial t} + \frac{\partial \rho_i v_i}{\partial x} &= 0 \quad (i = 1, 2), \\ \frac{\partial \rho_i v_i}{\partial t} + \frac{\partial \rho_i v_i^2}{\partial x} + \alpha_i \frac{\partial p}{\partial x} - (i-1) \frac{\partial \sigma_{2*}^{11}}{\partial x} &= (-1)^i \alpha_1 F_{12}, \\ \frac{\partial \rho_2 u_{2j}}{\partial t} + \frac{\partial \rho_2 u_{2j} v_2}{\partial x} - \zeta_{2j} \sigma_{2*}^{11} \frac{\partial v_2}{\partial x} - \int Q_{12}, \quad j &= T, \\ &\quad 0, \quad j = P, \\ \frac{\partial}{\partial t} \sum_{i=1}^2 \rho_i E_i + \frac{\partial}{\partial x} \sum_{i=1}^2 (\rho_i E_i v_i + p \alpha_i v_i - (2-i) \sigma_{2*}^{11} v_2) &= 0, \\ \rho_i = \rho_i^0 \alpha_i, \quad \alpha_1 + \alpha_2 &= 1, \quad E_i = e_i + 0,5 v_i^2 \quad (i = 1, 2), \quad u_2 = u_{2T} + u_{2P}. \end{aligned} \quad (1)$$

Здесь и далее индексы 1 и 2 внизу относятся соответственно к параметрам газовой и дисперсной фаз;  $\rho$ ,  $\rho^0$ ,  $\alpha$ ,  $v$ ,  $u$ ,  $E$  — соответственно средняя и истинная плотности, объемное содержание, массовая скорость, удельные внутренняя и полная энергии той или иной составляющей смеси;  $p$  — давление газовой фазы;  $\sigma_{2*}^{11}$  — эффективное напряжение [6] в пористой порошкообразной среде, обусловленное собственно деформацией несжимаемых частиц;  $d$  — диаметр частиц;  $F_{12}$  и  $Q_{12}$  — сила межфазного трения и интенсивность теплопередачи от газовой к дисперсной фазе в единице объема смеси;  $u_{2T}$  и  $u_{2P}$  — тепловая и упругая составляющие внутренней энергии частиц порошка;  $\zeta_{2T}$  — коэффициент, определяющий часть мощности работы межгранулярного напряжения, переходящую в тепловую энергию твердой фазы  $u_{2T}$  ( $0 \leq \zeta_{2T} \leq 1$ );  $\xi_{2P} = -\zeta_{2T} + 1$ .

Система квазилинейных дифференциальных уравнений (1), описывающая совместное неравновесное движение газовой и дисперсной фаз порошкообразной среды, дополняется уравнениями состояния идеального калорически совершенного газа и несжимаемых твердых частиц

$$\begin{aligned} p &= (\gamma - 1) \rho_1^0 u_1, \quad u_1 = c_1 T_1 \quad (\gamma, c_1 \equiv \text{const}), \\ \rho_2^0 &= \text{const}, \quad u_{2T} = c_2 T_2 \quad (c_2 \equiv \text{const}). \end{aligned} \quad (2)$$

Здесь  $\gamma$  — показатель адиабаты и удельная теплоемкость газа при постоянном объеме;  $T_1$  и  $T_2$  — температуры газа и дисперсных частиц.

Уравнение состояния пористого скелета порошкообразной среды, описывающее межчастичное взаимодействие, задается на основе данных [7] в следующем виде:

$$\sigma_{2*}^{11} = \begin{cases} -\rho_2^0 \alpha_{10} a_{20}^2 \left( \frac{c_{10}}{c_1} - 1 \right), & \alpha_1 < \alpha_{10} \leq \alpha_{1p}, \\ -\rho_2^0 \alpha_{1p} a_{2p}^2 \left( \frac{\alpha_{1p}}{\alpha_1} - 1 \right), & \alpha_1 < \alpha_{1p} \leq \alpha_{10}, \\ 0 & \text{в других случаях,} \end{cases} \quad (3)$$

$$a_{20} = a_{2p} + k(\alpha_{1p} - \alpha_{10}), \quad \alpha_{10} \leq \alpha_{1p}.$$

Здесь  $\alpha_{10}$  и  $a_{20}$  — пористость и скорость звука в порошкообразной среде в начальном состоянии;  $\alpha_{1p}$  и  $a_{2p}$  — пористость и скорость звука в порошкообразной среде в насыщенном состоянии;  $k$  — эмпирическая постоянная,

характеризующая рост скорости звука в уплотненном образце пористой порошкообразной среды [8].

Принятое в форме (3) уравнение состояния дисперсной твердой фазы описывает изменение межчастичного напряжения в порошкообразной среде при ее сжатии и разгрузке по схеме нелинейно-упругого тела.

Интенсивности межфазного трения и теплообмена задаются на основе соотношений [5, 6]

$$F_{12} = \frac{3}{4} \frac{\alpha_2}{d} C_d \rho_1^0 |v_1 - v_2| (v_1 - v_2), \quad Q_{12} = \frac{6\alpha_2}{d^2} \lambda_1 \text{Nu}_{12} (T_1 - T_2), \quad (4)$$

где  $C_d$  — коэффициент сопротивления;  $\text{Nu}_{12}$  — число Нуссельта газовой фазы;  $d$  — диаметр дисперсных частиц;  $\lambda_1$  — коэффициент теплопроводности газовой фазы.

Коэффициент сопротивления описывается следующей эмпирической зависимостью [9]:

$$\begin{aligned} C_d^{(1)} &= \frac{24}{\text{Re}_{12}} + \frac{4,4}{\sqrt{\text{Re}_{12}}} + 0,42, \quad \alpha_1 \geq 0,92, \\ C_d^{(2)} &= \frac{4}{3\alpha_1} \left( 1,75 + \frac{150(1 - \alpha_1)}{\alpha_1 \text{Re}_{12}} \right), \quad \alpha_1 \leq 0,55, \\ C_d &= \frac{(0,92 - \alpha_1) C_d^{(2)} + (\alpha_1 - 0,55) C_d^{(1)}}{0,37}, \quad 0,55 < \alpha_1 < 0,92. \end{aligned} \quad (5)$$

Здесь  $\text{Re}_{12} = \rho_1^0 |v_1 - v_2| d \mu_1^{-1}$  — число Рейнольдса относительного движения газа и частиц порошкообразной среды;  $\mu_1$  — динамическая вязкость газовой фазы;  $C_d^{(2)}$  — коэффициент сопротивления сферических частиц в насыпных порошках, полученный в экспериментах [10].

Для определения числа Нуссельта используется эмпирическое соотношение [11]

$$\text{Nu}_{12} = \begin{cases} 2 + 0,106 \text{Re}_{12} \text{Pr}^{1/3}, & \text{Re}_{12} \leq 200, \\ 2,274 + 0,6 \text{Re}_{12}^{2/3} \text{Pr}^{1/3}, & \text{Re}_{12} > 200, \end{cases} \quad (6)$$

где  $\text{Pr} = \gamma c_1 \mu_1 \lambda_1^{-1}$  — число Прандтля.

#### Постановка задачи

Имеется полубесконечная труба, закрытая с одного конца (область  $0 \leq x < \infty$ , см. рис. 1). В области  $0 \leq x < x_*$  у закрытого конца находится калорически совершенный горячий сжатый газ. Область сжатого газа отделяется диафрагмой от слоя пористой порошкообразной среды с насыпной плотностью  $\rho_{20}$  и длиной  $l_s = x_{**} - x_*$ . За слоем порошка в области  $x_{**} < x$  находится калорически совершенный покоящийся газ. В начальный момент времени  $t = 0$  диафрагма разрывается. Ставится цель — изучить динамику волнового движения газовой и дисперсной фаз, а также проанализировать влияние начального перепада давлений толкающего газа и размера частиц на предельные дальность и протяженность разлета слоя порошкообразной среды.

За калорически совершенный газ принимался воздух со следующими теплофизическими параметрами:

$$\gamma = 1,4, \quad c_1 = 716 \text{ м}^2 / (\text{с}^2 \cdot \text{К}), \quad \mu_1 = 1,85 \cdot 10^5 \text{ кг} / (\text{м} \cdot \text{с}).$$

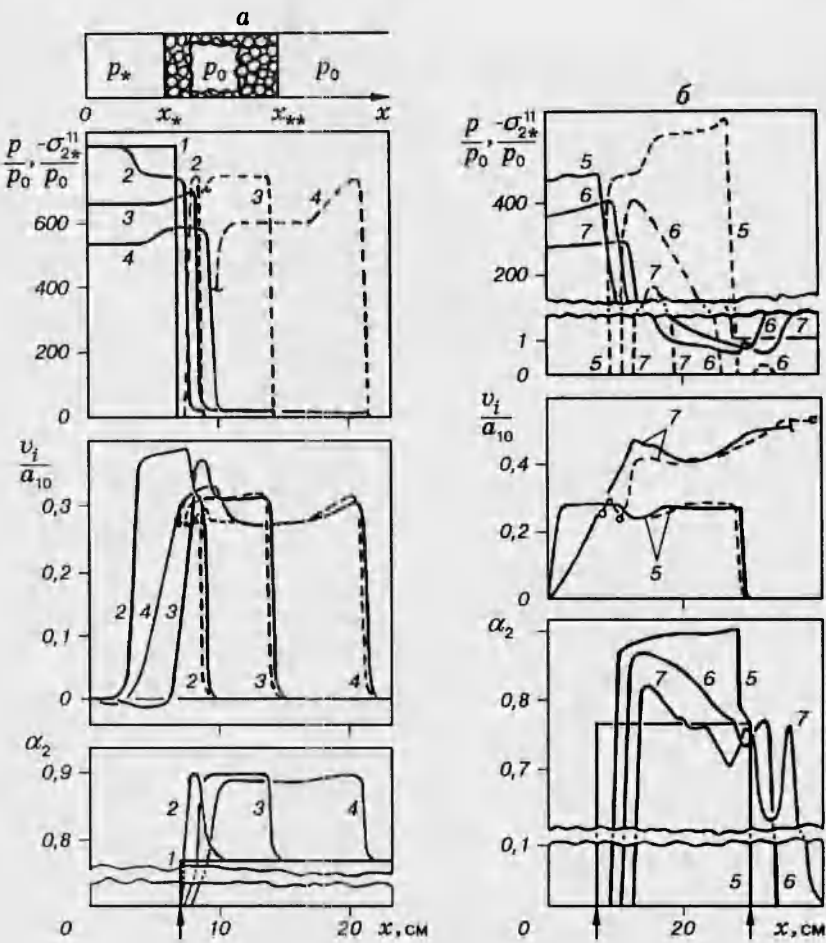


Рис. 1.

В качестве пористой порошкообразной среды рассматривался модельный порошок со следующими значениями параметров:

$$\alpha_{10} = \alpha_{1p} = 0,23, \quad \alpha_{20} = \alpha_{2p} = 1 - \alpha_{1p}, \quad a_{20} = a_{2p} = 420 \text{ м/с}, \quad \rho_2^0 = 1300 \text{ кг/м}^3,$$

$$c_2 = 1066 \text{ м}^2/(\text{с}^2 \cdot \text{К}), \quad d = 600 \text{ мкм}, \quad \xi_{2T} = 0.$$

Задача решалась при следующих начальных параметрах в области сжатого газа ( $0 \leq x < x_*$ ):  $p_* = 8,5 \cdot 10^7 \text{ Н/м}^2$ ,  $\rho_{1*}^0 = 55,3 \text{ кг/м}^3$ ,  $T_{1*} = 5447 \text{ К}$ ; в зоне пористой порошкообразной среды ( $x_* \leq x \leq x_{**}$ ):  $p_0 = 101320 \text{ Н/м}^2$ ,  $\rho_{10}^0 = 1,21 \text{ кг/м}^3$ ,  $T_{10} = 293 \text{ К}$ ,  $v_{10} = 0$ ,  $\sigma_{2*}^{11} = 0$ ,  $\rho_2^0 = 1300 \text{ кг/м}^3$ ,  $\rho_{20} = \rho_2^0(1 - \alpha_{10})$ ,  $T_{20} = 293 \text{ К}$ ,  $v_{20} = 0$ ; в области невозмущенного газа ( $x > x_{**}$ ):  $p_0 = 101320 \text{ Н/м}^2$ ,  $T_{10} = 293 \text{ К}$ ,  $v_{10} = 0$ ,  $\rho_{10}^0 = 1,21 \text{ кг/м}^3$ .

Длина области сжатого газа  $x_* = 0,07 \text{ м}$ , протяженность слоя порошка  $l_s = x_{**} - x_* = 0,23 \text{ м}$ . В качестве граничного условия на жесткой стенке требовалось равенство нулю скорости газа.

Система уравнений (1) при заданных начальных и граничных условиях решалась численно методом крупных частиц [12] по алгоритму [5], в котором для устранения неустойчивости счета в зонах малых скоростей фаз вводится искусственная вязкость как в газовой фазе, так и в дисперсной фазе частиц пористой среды [5, 13].

### Некоторые результаты расчетов

На рис. 1,*a* показан начальный этап разгона частиц порошка в ударной волне (УВ) после распада начального разрыва. Приведены профили напряжений (*a*), массовых скоростей газовой и дисперсной фаз (*b*) и объемного содержания частиц порошкообразной среды (*c*) на моменты времени  $t = 0,25, 100$  и  $200$  мкс (кривые 1–4). Сплошными и штриховыми линиями изображены параметры соответственно газа и частиц.

Как видно из рис. 1,*a* на момент времени 25 мкс после распада начального разрыва в области сжатого газа распространяется волна разрежения, а в области пористой среды — проходящая УВ. Последняя, распространяясь по частичкам дисперсной фазы, деформирует их, сжимая газ в порах. При этом вследствие сильной сжимаемости порового газа основное напряжение в пористой среде передается дисперсной фазе. Скорости газа и частиц в проходящей УВ практически совпадают, а пористость порошка значительно уменьшается.

На момент времени 100 мкс волна разрежения, отразившись от жесткой стенки, взаимодействует с левой границей слоя порошка, в результате чего волна разгрузки проходит в область пористой среды, а также отражается в зону сжатого газа. Газ и частицы порошкообразной среды замедляются в ВР.

На момент времени 200 мкс волна разрежения в порошке догоняет проходящую УВ и ослабляет ее. Соответственно частицы порошка и газ в поровом пространстве тормозятся, а объемная концентрация частиц за волной разгрузки слабо уменьшается.

Следующая стадия процесса метания порошка — разгон частиц в волне разрежения в пористой среде после взаимодействия проходящей УВ с правой границей слоя проиллюстрирована на рис. 1,*b*. Здесь кривые 5–7 соответствуют  $t = 300, 500$  и  $700$  мкс. Стрелками указаны положения границ слоя порошкообразной среды при  $t = 0$ .

Как видно из рис. 1,*b*, на момент времени 300 мкс проходящая УВ, ослабленная догоняющими ее волнами разрежения, идущими из области сжатого газа, подходит к правой границе слоя порошкообразной среды. Ударная волна, взаимодействуя с правой границей слоя порошка, порождает в области пористой среды волну разрежения, в область невозмущенного газа проходит УВ весьма малой интенсивности. Волна разрежения, движущаяся от правой границы слоя порошка, взаимодействует с волной разрежения в порошке, распространяющейся из области сжатого газа. В результате взаимодействия встречных волн разгрузки внутри порошкообразной среды возникает область разрежения, в которой плотность дисперсных частиц становится меньше насыпной, межгранулярное давление равняется нулю, а давление газа в порах меньше своего начального значения.

Ввиду того, что в области взаимодействия волн разрежения отсутствуют контакты между частицами, дальнейшее движение дисперсной фазы в этой области определяется только действием газа на частицы, т. е. распределением скоростей фаз. Так как масса частиц существенно больше массы газа в порах, то влияние газа на частицы мало по сравнению с влиянием распределения скоростей частиц на течение в рассматриваемой области в пористой среде. Скорость частиц порошкообразной среды в волнах разрежения на момент их взаимодействия является возрастающей функцией расстояния, это приводит к образованию «провала» в распределении объемного содержания частиц. Результат взаимодействия волн разрежения и эффект немонотонного изменения концентрации частиц в плотном ансамбле неконтактирующих между собой частиц показан на рис. 1,*b* кривыми 6.

В области пористой порошкообразной среды, где частицы контактируют друг с другом, происходят аналогичные взаимодействия волн разгрузки и, следовательно, образование новых зон немонотонного распределения параметров фаз. Результат таких взаимодействий показан на рис. 1, б, 3.

В момент времени  $\approx 1$  мс в результате взаимодействия волн разгрузки в слое частиц с его левой границей в область дисперсной среды распространяется волна сжатия, которая приводит к уплотнению слоя до концентрации частиц чуть больше насыпной и к исчезновению отмеченных выше зон немонотонного распределения параметров фаз. При  $t \sim 3$  мс разлет слоя частиц и разрежение толкающего газа приводят к образованию плотного облака неконтактирующих между собой частиц.

В последующие стадии движения определяющее влияние на разлет частиц оказывает разрежающий толкающий газ. До момента времени  $\sim 50$  мс, т. е. к моменту разрежения области первоначально сжатого газа до атмосферного давления, осуществляется разгон слоя частиц перепадом давлений толкающего и невозмущенного газов. В дальнейшем из-за образования зоны разрежения в газе у закрытого конца трубы происходит торможение частиц и расширение облака газовзвеси.

Эта стадия движения частиц проиллюстрирована на рис. 2, а, где показано изменение в пространстве скоростей частиц на передней и задней границах облака газовзвеси при различных начальных давлениях толкающего газа ( $p_*/p_0 = 175$  (I) и 500 (II); в рассмотренном выше случае III  $p_*/p_0 = 850$ ). Штриховые линии изображают распределения скоростей частиц в двухфазных облаках. Цифрами указаны моменты времени в секундах. Распределения концентраций дисперсной фазы в облаке частиц на момент остановки его ядра (точки с максимальной плотностью) приведены на рис. 2, б при аналогичных рис. 2, а перепадах начальных давлений, указанных цифрами на кривых.

Большой интерес представляет установление зависимостей дальности метания слоя порошка и его протяженности в момент прекращения движения от перепада начального давления газа  $p_*/p_0$ . Для этого были проведены три варианта расчетов, соответствующие  $p_*/p_0 = 175, 500$  и 850. При этом параметры порошка оставались неизменными ( $\alpha_{10} = 0,23$ ,  $l_s = 0,23$  м,  $d = 600$  мкм). Результаты расчетов приведены на рис. 3, где сплошной и штриховой линиями показаны зависимости дальности метания и протяженности порошкообразных слоев. Представленные линейные зависимости с погрешностью 6 % аппроксимируют данные численного эксперимента, отмеченные точками.

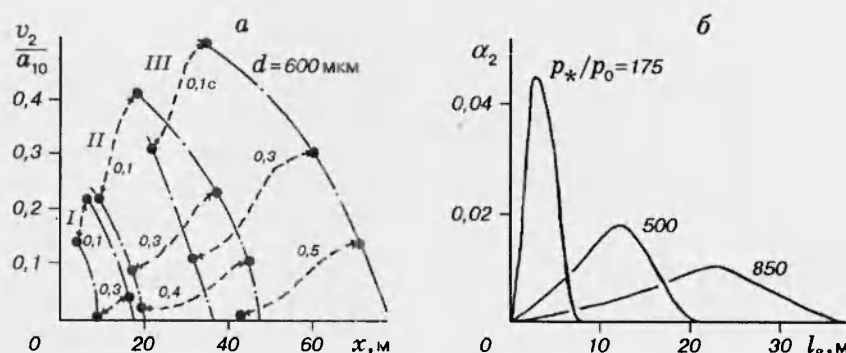


Рис. 2.

С целью установления влияния размера частиц на процесс метания порошка сжатым газом выполнены расчеты для размеров частиц  $d = 300, 600$  и  $1200$  мкм. При этом отношение давлений в области сжатого газа и слое порошка полагалось равным 850. Результаты таких вычислений продемонстрированы на рис. 3 штрихпунктирной линией, аппроксимирующей данные численного эксперимента (точки).

Как следует из рис. 3, дальность метания слоя порошкообразной среды в указанном интервале изменения параметров фаз соответственно существенно и слабо увеличивается с ростом  $p_*/p_0$  и  $d$ . В частности, при увеличении  $p_*/p_0$  в 4,8 раза и  $d$  в 4 раза дальность метания возрастает соответственно в 5,2 и 1,2 раза.

### Выводы

Процесс метания слоя порошка представляется тремя последовательными этапами: движением пористой среды как континуума контактирующих друг с другом частиц, как весьма плотного облака неконтактирующих друг с другом частиц в газе и как облака газовзвеси.

Разгон контактирующих между собой частиц порошка носит существенно волновой характер и определяется волнами сжатия и разрежения и их взаимодействием с закрытым концом трубы и с контактными границами слоя порошка. Разгон и торможение частиц порошка в условиях отсутствия межзеренных контактов определяется только силами межфазного взаимодействия.

Зависимости дальности метания порошкообразного слоя и протяженности облака частиц в момент их остановки от степени начального нагружения слоя порошка в рассмотренных выше диапазонах изменения параметров хорошо описываются возрастающими линейными зависимостями. Дальность метания слоя порошка слабо зависит от характерного размера дисперсных частиц.

### ЛИТЕРАТУРА

- Гельфанд Б. Е., Губанов А. В., Медведев С. П. и др. Ударные волны при разлете сжатого объема газовзвеси твердых частиц // Докл. АН СССР. 1985. Т. 281, № 5. С. 1113–1116.
- Казаков Ю. В., Федоров А. В., Фомин В. М. Расчет разлета сжатого объема газовзвеси // ПМТФ. 1987. № 5. С. 139–144.
- Гельфанд Б. Е., Казаков Ю. В., Медведев С. П. и др. Разлет сжатой стратифицированной газопылевой системы // Численные методы решения задач фильтрации многофазной несжимаемой жидкости. Новосибирск: ИТПМ СО АН СССР, 1987. С. 88–89.
- Гетц Н. Г., Кедринский В. К. Динамика взрывного нагружения конечного объема плотной двухфазной смеси // ПМТФ. 1989. № 2. С. 120–125.
- Кутушев А. Г., Рудаков Д. А. Математическое моделирование динамического нагружения слоя пористой порошкообразной среды сжатым газом // Мат. моделирование. 1991. Т. 3, № 11. С. 65–75.
- Нигматулин Р. И. Динамика многофазных сред. М.: Наука, 1987. Ч. 1.

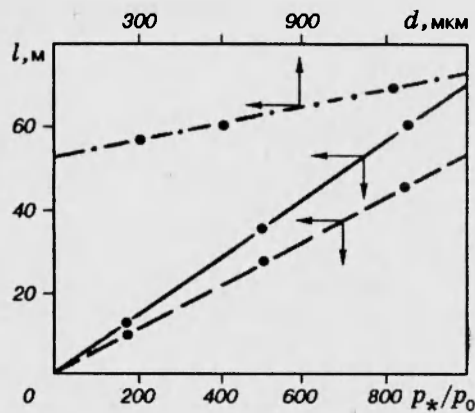


Рис. 3.

7. Gough P. S., Zwartst F. J. Modeling heterogeneous two-phase reacting flow // AIAA Journal. 1979. V. 17, N 1. P. 17–25.
8. Bernecker R. R., Price D. Studies the transition from deflagration to detonation in granular explosives // Combust. Flame. 1974. V. 22, N 1–3. P. 111–170.
9. Стернин Л. Е., Маслов Б. Н., Шрайбер А. А., Подвысоцкий А. М. Двухфазныеmono- и полидисперсные течения газа с частицами. М.: Машиностроение, 1980.
10. Ergun S. Fluid flow through packed columns // Chem. Eng. Progr. 1952. V. 48, N 2. P. 89–94.
11. Чудновский А. Ф. Теплообмен в дисперсных средах. М.: Гостехиздат, 1954.
12. Белоцерковский О. М., Давыдов Ю. М. Метод крупных частиц в газовой динамике. М.: Наука, 1982.
13. Ивандаев А. И. Об одном способе введения «псевдовязкости» и его применении к уточнению разностных решений уравнений гидродинамики // Журн. вычисл. математики и мат. физики. 1975. Т. 15, № 2. С. 523–527.

*Поступила в редакцию 22/VII 1994 г.*

---